

پیش‌بینی آورد آبی رودخانه‌ی گرگان‌رود با استفاده از روش‌های ترکیبی آنتروپی تقریبی و شبکه‌های عصبی مصنوعی

گروه مهندسی عمران، دانشکده فنی و مهندسی، پژوهشکده مخاطرات محیطی، دانشگاه گلستان، علی آباد کتول، گرگان

علیرضا چاجی (استادیار)

پر دیس، صنعتی شهداي هويزه، گروه يرق، دانشگاه شهيد چمران اهواز

یک از مباحث کلیدی در مدل های پیش بینی کننده سری زمانی، تعیین تعداد تأخیر در مدل پیش نهادی است. در نوشتار حاضر، تعداد تأخیر مدل سری زمانی پیش بینی کننده آورده رودخانه با استفاده از معیار آنتروپی تقریبی و روش شبکه های عصبی به دست آمده است. روش کار به این صورت بود که ابتدا رابطه بین بالوک های تأخیر و آنتروپی تقریبی در ایستگاه های آب سنجی آق قلا و قراقلی در رودخانه گرگان رود بررسی و مشخص شد که بهترین تعداد تأخیر در ایستگاه های آب سنجی آق قلا و قراقلی به ترتیب برای 12 و 10 عدد جهت رسیدن به یک مدل جامع پیش بینی کننده آورده رودخانه است. در ادامه، نیز دو مدل ARIMA و شبکه های عصبی به همراه میزان بالوک تأخیری به دست آمده برای پیش بینی دبی رودخانه گرگان رود استفاده شد. نتایج نشان از کارایی مدل های توسعه داده شده در منطقه مورد نظر است، که مسئله ای مذکور با توجه به نتایج به دست آمده در ایستگاه های مورد نظر برای برنامه ریزی آینده می تواند کارآزمایش باشد.

وازگان کلیدی: جریان رودخانه، آنژروپی تقریبی، پیش‌بینی، مدل شبکه‌های عصبی، رگان‌زود.

١. مقدمة

بی‌نظمی در یک سری اطلاعات به معنای تغییرات زیاد و نامنظم اطلاعات موجود در سری اطلاعات ذکر شده است، که نوسان اطلاعات و عدم پیروی آن از یک قاعده‌ی مشخص باعث کاهش آگاهی ما از رفتار سیستم می‌شود. توری آشوبی، یکی از معیارهای مهم توصیف رفتار سیستم‌هاست، که می‌توان میزان بی‌نظمی و عدم قطعیت را با آن اندازه‌گیری کرد. اگرچه با روش‌های استحتمالاتی می‌توان عدم قطعیت را به دست آورد، اما مشکل مهم آنها اطلاعات محدود و در بعضی موارد ناقص است. آنتربوپی معیاری از درجه‌ی عدم قطعیت و نامعلومی (یعنی بی‌نظمی، تصادفی و بی‌قانونی) در پدیده‌های تصادفی است. معمولاً پیچیدگی یک سیستم آنتربوپی آن رابطه‌ی مستقیم دارد، به طوری که هر چه آنتربوپی سیستم بزرگ‌تر باشد، بی‌نظمی و پیچیدگی سیستم بیشتر پیش می‌شود و بالعکس. در حالت کلی، فرایندات طبیعی به سمت آنتربوپی بیشتر پیش می‌روند. بی‌نظمی در بحث حاضر وجود جنبه‌های غیرقابل پیش‌بینی و اتفاقی در پدیده‌های پویاست. بی‌نظم بودن یک پدیده، به این مفهوم است که نتایج آن غیرقابل پیش‌بینی است و منظم بودن یعنی دارای نوعی قطعیت است. فرض می‌شود که یک سیستم آب‌شناسی (هیدرولوژی) تحت شرایط طبیعی سالم بوده و در طی سال‌ها به بیشینه‌ی پیچیدگی خود رسیده است، که چنین سیستمی غرقابی پیش‌بینی و تصادفی است. سیستم اخیر ممکن است به دلیل

* نویسنده مسئول

تاریخ: دریافت ۱۸/۰۵/۱۴۰۰، اصلاحیه ۱۶/۰۵/۱۴۰۰، بذیرش ۳۱/۰۵/۱۴۰۰.

DOI:10.24200/J30.2021.57716.2930

می‌توانند این تعداد بلوك تأخیری را برای مدل‌های پیش‌بینی کننده‌ی سری‌های زمانی در نظر بگیرند.^[۱۲]

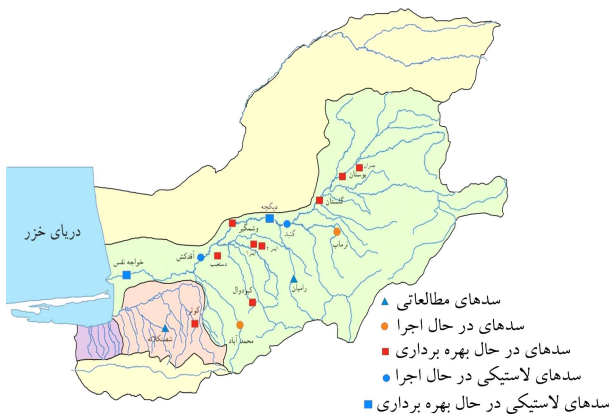
بنابراین در مطالعه‌ی حاضر، برای اولین بار از روش‌های شبکه‌های عصبی مصنوعی (ANNs) ^[۱۰] و ARIMA ^[۱۱] برای پژوهش درباره‌ی دقت تعداد بلوك‌های تأخیری تعیین شده توسط روش آنتروپی تقریبی استفاده شده است. به عبارت دیگر، ابزار محاسبه‌ی نرم، جهت پیش‌بینی سری زمانی آورد آبی رودخانه‌ی گرگان‌رود در ایستگاه‌های قراقلی و آق‌قلاب توجه به تعداد بلوك‌های تأخیری روش آنتروپی تقریبی استفاده شده است.

در سال‌های اخیر، روش‌های ابزار محاسبات نرم، مانند: روش‌های شبکه‌های عصبی مصنوعی (ANNs)، سیستم‌های استنباط فازی (FISs) ^[۱۲]، روش‌های برنامه‌ریزی زنگی (GP) ^[۱۳]، روش درخت‌های تصمیم‌گیری و روش بردار ماشین‌های پشتیبان (SVMs) ^[۱۴] به منظور پیش‌بینی پدیده‌های مختلف هیدرولیکی استفاده شده‌اند. نحوه‌ی کار در ابزار ذکر شده به این صورت بوده است که با استفاده از برقراری رابطه‌ی ضمنی و یا صریح بین پارامترهای مؤثر در یک پدیده، سعی در پیش‌بینی و یا تخمین پدیده مورد نظر شده است. روش ANNs توسط پژوهشگران بسیاری برای پیش‌بینی پدیده‌های هیدرولیکی به ویژه در کانال‌های باز استفاده شده است. یانگ و چنگ ^[۱۵] (۲۰۰۵)، از روش ANNs به منظور تخمین نیميخ سرعت و در نهایت، تخمین دبی در کانال‌های باز استفاده کردند.^[۱۶] یوهان و وناکسین ^[۱۶] (۲۰۰۹)، از ANNs به منظور پیش‌بینی زبری در کانال‌های غیرخاکی استفاده کردند.^[۱۵] در پژوهش دیگری، شایا و سبلانی ^[۱۹۹۸] (۱۹۹۸)، نیز به منظور تخمین زبری در لوله‌ها از روش ANNs استفاده کردند.^[۱۶] عابدین ^[۲۰۰۴]، از ANNs به منظور پرسنی کارایی کانال‌های باز انتسابی تحت تأثیر سازه‌های هیدرولیکی استفاده کرده است.^[۱۷] در پژوهش دیگری، زهیری و دهقانی ^[۲۰۰۹] (۲۰۰۹)، از ANNs به منظور تخمین دبی کانال‌های مرکب و از دامنه‌ی سیعی از داده‌های آزمایشگاهی و هندسی به منظور ارائه‌ی یک مدل جامع استفاده کردند.^[۱۸] باطنی و همکاران ^[۲۰۰۷] (۲۰۰۷) و بگوم ^[۱۷] و همکاران ^[۲۰۱۲] (۲۰۱۲)، در تخمین میزان آب شستگی پای پل‌ها در اثر جریان، از روش ANNs به منظور تخمین میزان آب شستگی پای پل‌ها استفاده کردند. کاظمی‌نژاد و همکاران ^[۲۰۱۰] (۲۰۱۰)، نیز از روش ANNs به منظور تخمین میزان آب شستگی پای لوله‌ها تحت اثر امواج استفاده کردند.^[۱۹] همچنین غضنفری هاشمی و همکاران ^[۲۰۱۱] (۲۰۱۱)، در آب شستگی پای گروه شمع‌ها در اثر امواج در دریا از روش‌های ANNs و بردار ماشین‌های پشتیبان استفاده کردند.^[۲۰] زنجی ^[۱۸] و بنکداری ^[۲۰۱۵] (۲۰۱۵)، هم در زمینه‌ی تخمین سرعت در طول کانال‌های باز از روش‌های ANNs و برنامه‌ریزی زنگی استفاده کردند.^[۲۱] شیخ خوانی و همکاران ^[۲۰۱۷] (۲۰۱۷)، نیز از روش ANNs تصادفی جهت تخمین و توزیع نتش برشی در کانال‌های دایره‌یی استفاده کردند و دریافتند که عدد رینولدز و عمق بی‌بعد شده با پیرامون مرتبط در تش برشی تأثیر زیادی دارد.^[۲۲] صادق صفری ^[۲۰۱۶] (۲۰۱۶)، از روش ANNs به منظور تخمین سرعت جریان در کانال‌های باز استفاده کردند.^[۲۳] زنگنه ^[۱۹] و همکاران ^[۲۰۱۶] (۲۰۱۶)، نیز از روش شبکه‌ی عصبی برای پیش‌بینی جریان‌های ساحلی در ساحل جوستو - اوگاتای ^[۲۰] زاپن استفاده کردند.^[۲۴] اخیراً نیز زنگنه و رستگار از روش‌های ANFIS و ANNs برای تخمین زبری کانال‌های خاکی استفاده کردند، که نتایج نسبت به روش‌های تجربی موجود، دقت قابل ملاحظه‌ی داشته است. ضمن این‌که پارامترهای ورودی مؤثر بیشتری در مورد پدیده مرتبط استخراج شده است.^[۲۵] به منظور توسعه‌ی روش‌های مبتنی بر روش ابزار محاسبات نرم ANNs جهت پیش‌بینی آورد آبی در رودخانه‌ی گرگان‌رود در نوشتار حاضر، پس از ارائه مقدمه‌ی در رابطه با اهمیت به کارگیری روش آنتروپی تقریبی و شبکه‌های عصبی

دخلالت‌های انسانی مانند استفاده‌ی زیاد از زمین، تعییر پوشش زمین، شهرنشینی و غیره را از دست بدهد و به سوی نظم و قطعیت حرکت کند. پس از توسعه‌ی تئوری آنتروپی اش را از دست بدهد و به سوی نظم و قطعیت حرکت کند. پس از توسعه‌ی تئوری آنتروپی در دهه ۱۹۵۰، تئوری آنتروپی در طیف وسیعی از علوم شامل: آب‌شناسی، منابع آب، هیدرولیک و محیط زیست استفاده شده است.^[۲۶] سینگ و راجوگوبال ^[۱۹۸۷] (۱۹۸۷) به پیشرفت‌هایی در کاربرد اصل آنتروپی بیشینه‌ی POME ^[۲] در آب‌شناسی دست یافتد و با استفاده از اصل آنتروپی بیشینه، روشی جهت استخراج تعداد توزیع‌های به کار رفته در آب‌شناسی پیشنهاد کردند.^[۲۷] از POME برای تعیین توزیع‌های فراوانی، تخمین پارامتر، ارزیابی سیستم‌های اکتساب داده و تعیین عدم قطعیت در آب‌شناسی استفاده شده است. کریستانوچ و سینگ ^[۳] (۱۹۸۷)، بیشینه‌ی آنتروپی طیفی MESA ^[۴] را برای توسعه‌ی مدل تک متغیره برای پیش‌بینی جریان بلندمدت رودخانه به کار برداشت. مدل برای پنج رودخانه در پنج منطقه مختلف از جهان تأیید شد.^[۴] سینگ و کریستانوچ ^[۱۹۹۱] (۱۹۹۱ و ۱۹۹۲)، یک روش مبتنی بر آنتروپی برای ارزیابی زمانی و مکانی شبکه‌های بارش در ایالت لویزیانا آمریکا ارائه دادند.^[۴] ارزیابی برای پنج بازه‌ی روزانه، دوره‌ی هفتگی، ماهانه و سالانه برای دو فصل مختلف انجام شد. در هر مورد بهترین ترکیب باران سنج‌ها پیشنهاد و خطوط با اطلاعات یکسان ایجاد شد، که نشان‌دهنده انتقال اطلاعات بیشتر یا کمتر است. باری ^۵ و همکاران ^[۱۹۹۴] (۱۹۹۴)، آنتروپی را برای تعیین توزیع احتمالاتی برای هد پیزومتریک در محیط مخلخ برای جریان یک بعدی دائمی آب‌خوان‌های باز و بسته به کار برداشتند.^[۷] زانگ ^[۱۹۹۱] (۱۹۹۱)، یک روش نو با عنوان آنتروپی مرکب معروفی کرد.^[۸] در علوم پزشکی نیز کوستا ^[۶] و همکارانش ^[۲۰۰۵] (۲۰۰۵)، آنتروپی چند مقایسه (MSE) ^[۷] را به طور کامل تری بیان کردند و از کاربردهای آن در نوسان‌های ضربان قلب استفاده کردند.^[۹] روش نشان داد که در یک سیستم بیولوژیکی با بالا رفتن سن، کمبود پیچیدگی آهنگ نامنظم قلب و تأم با نارسایی قلبی است و با این درک آن را برای اندازه‌گیری پیچیدگی سیستم‌های بیولوژیکی به کار برداشت. کسین ^[۸] (۲۰۰۸)، معیار پیچیدگی LZC ^[۹] را برای بررسی پیچیدگی در جریان رودخانه در یک دوره‌ی طولانی در ۱۵ حوضه در انگلیس و ولز به کار برد.^[۱۰] سپس دوره را به ۴ دوره تقسیم کرد و مقدار پیچیدگی لمپل - زیو (LZC) را محاسبه کرد. نتایج نشان داد که در برخی حوضه‌ها در دوره‌ی آخر در مقایسه با دوره‌ی قبل کاهش پیچیدگی به وجود آمده است، که ممکن است به فعالیت‌های انسانی مانند استفاده‌ی زیاد از خاک، زمین و غیره را از فعالیت‌های ناشی از فعالیت‌های انسانی نسبت داده شود. لی و زانگ ^[۷] (۲۰۰۵)، آنتروپی چند مقایسه‌ی MSE را به عنوان معیاری برای ارزیابی پیچیدگی جریان رودخانه می‌سی‌سی‌پی به کار برداشت. آنها مقادیر جریان روزانه‌ی رودخانه می‌سی‌سی‌پی را به مدت ۱۳۱ سال برای بررسی تغییر ممکن در پیچیدگی ناشی از فعالیت‌های انسانی از دهه‌ی ۱۹۴۰ به بعد به کار برداشتند.^[۱۲] نتایج نشان داد که از سال ۱۹۴۰ به بعد، آنتروپی جریان رودخانه کاهش پیدا کرده است. آن‌ها نتیجه گرفتند که کاهش اخیر پیچیدگی سیستم MR ممکن است ناشی از تغییرات عمده در استفاده از زمین، پوشش گیاهی و روش‌های حفاظت خاک از سال ۱۹۴۰ به بعد باشد. اخیراً زنگانه و همکاران ^[۲۰۲۱] (۲۰۲۱)، به بررسی بی‌نظمی رودخانه‌ی گرگان‌رود در ایستگاه‌های آق‌قلاب و قراقلی پرداخته و دریافت‌های آن را میزان آنتروپی تقریبی با افزایش بلوك‌های تأخیری در آن، در نهایت به صفر می‌کند. به نظر آن‌ها سسئله‌ی اخیر می‌بین عدم انتقال اطلاعات از یک بلوك تأخیری خاص است. به عبارت دیگر، از یک بلوك تأخیری مشخص، دیگر بی‌نظمی در آورد آب رودخانه وجود ندارد در نتیجه، فرایند تکراری و قابل پیش‌بینی است. آن‌ها پیشنهاد کردند که مدل‌های پیش‌بینی

جدول ۱. مشخصات ایستگاه آب‌سنجی در رودخانه گرگانزود (مشخصات UTM و زون ۴۰).

ردیف	نام	ایستگاه	طول (m)	عرض (m)	ارتفاع (m)	سال تأسیس	طول دوره‌ی آماری (سال)
۱	قراقلی	۳۲۴۳۷۲	۴۱۲۱۹۹۳	۲۲	۱۳۵۲	۴۴	
۲	آق قلا	۲۷۴۰۹۶	۴۰۹۹۱۹۴	-۱۳	۱۳۲۵	۶۷	



شکل ۱. جانمایی سدهای استان گلستان (سایت شرکت آب منطقه‌یی، استان گلستان).

حدود ۳۷ میلیون مترمکعب رسیده است و قدیمی ترین سد استان گلستان است. در جدول ۱، مشخصات ایستگاه آب منجی قراقلی و آق قلا و در شکل ۱، چگونگی حاصل نامه، سدهای مختلف استان گلستان مشاهده می‌شود.

۲. روش آنتروپی تقریبی

مفهوم آنتروپی تقریبی (ApEn) ۲۱ براي اولین بار در سال ۱۹۹۱ توسيط پينکاس و همکاران، معرفی شده است.^[۲۸] در روش آنتروپی تقریبی، مقدار ApEn را به عنوان معیاري برای تعیین تصادفي بودن دنباله‌بي از اعداد در نظر می‌گيرند. در حقیقت، روش ApEn مبتنی بر آنتروپی است که از توزيع تجربی برای الگوهای مختلف به دست می‌آید. آنتروپی تقریبی (ApEn)، آزمونی است که جهت بررسی پیچیدگی در يك دنباله یا يك سری از اعداد به کار می‌رود. در راونی همان آنتروپی تقریبی به نوعی همان آنتروپی شانون^{۲۳} است، که در آن از فراوانی آماری یك الگو در دنباله به جای احتمال آن الگو استفاده می‌شود. از آن جا که آنتروپی شانون، میران بی‌نظمی را در يك سیستم بیان می‌کند، آنتروپی تقریبی پیزیز میران پیچیدگی و بی‌نظمی در يك دنباله را می‌دهد. آنتروپی تقریبی، يك روش آماری است که برای تعیین تصادفي بودن و یا غيرمنظم بودن يك دنباله از عداد به کار می‌رود. دنباله‌بي که آنتروپی تقریبی آن بیشتر باشد، خاصیت تصادفي بودن بیشتری دارد و بی‌نظمی در آن بالاتر است و بالعکس، دنباله‌بي که آنتروپی تقریبی آن پایین تراست، نظم بیشتری دارد و در حقیقت از يك الگو منظم پیروی می‌کند و غيرتصادفي تر است. فرض کنید دنباله‌بي از اعداد حقیقی به صورت $U = (u_1, u_2, \dots, u_n)$ باشد، براي دو بلوک $X(i)$ و $X(j)$ ، که $(i), (j)$ به صورت $X(i) = (u_{(i)}, u_{(i+1)}, \dots, u_{(i+m-1)})$ است، فاصله‌ي بین دو بردار به صورت $\text{وابط } ۴\text{ محاسبة مم رشود}:$

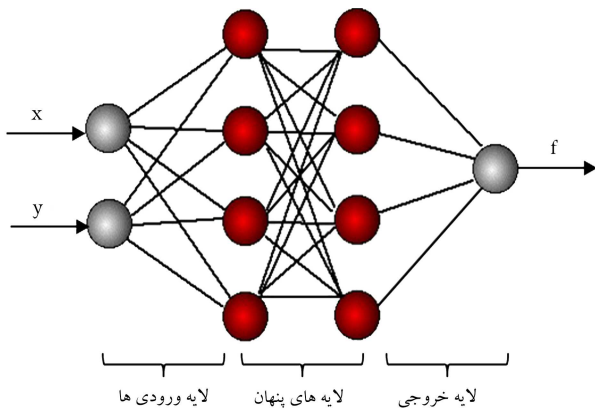
$$d(X(i), X(j)) = \max_{p=1, r, \dots, m} (|U_{(i+p-1)} - U_{(j+p-1)}|) \quad (\text{v})$$

و کاربردهایی از روش ابزار محاسبه‌ی نرم موردنظر، در گام دوم داده‌های استفاده شده در توسعه‌ی مدل های مذکور با عنوان مطالعه‌ی موردنی بررسی شده است. در بخش‌های سوم و چهارم، نیز به ترتیب مبانی هر دو روش آنژوپی تقریبی و ANNs بررسی شده است. همچنین در بخش‌های پنجم و ششم، به توسعه‌ی مدل های مرتبط جهت پیش‌بینی آورد آئی رودخانه‌ی گرگان‌رود و همچنین آنالیز حساسیت در رابطه با تعداد بلاک‌های تأخیری در دقت روش‌های ARIMA و ANNs پرداخته شده است. همچنین در مرحله‌ی اخیر، کارایی روش‌های توسعه داده شده در مقابل داده‌های استفاده نشده در فرایند ارزیابی شده است. در انتها، ایده‌ی مطرح شده در رابطه با یکسان بودن بلاک‌های روش آنژوپی تقریبی با تعداد بلاک‌های تأخیری، روش پیش‌بینی‌کننده‌ی شبکه‌ی عصبی بررسی و ارزیابی شده است.

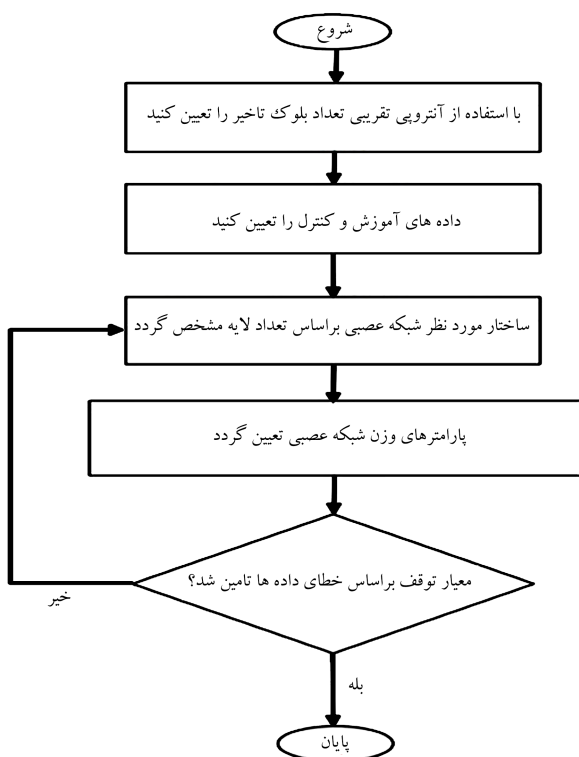
۲. مطالعه‌ی موردی

حوضه‌ی آبریز رودخانه‌ی گرگان‌رود از نظر تقسیم‌بندي حوضه‌های اصلی کشور ایران، بخشی از حوضه‌ی آبریز دریای خزر است. همچنین از نظر تقسیم‌بندي حوضه‌های درجه‌ی ۲ کشور، در حوضه‌ی آبریز قزوین و گرگان واقع است. حوضه‌ی آبریز رودخانه‌ی گرگان‌رود در بخش شرقی رشته‌کوه البرز واقع شده است و وسعتی در حدود ۱۱۶۳۵ کیلومترمربع دارد. به طورکلی، در حوضه‌ی آبریز رودخانه‌ی گرگان‌رود، دو رودخانه‌ی بزرگ وجود دارد که گرگان‌رود با وسعت ۱۱۶۳۵ کیلومترمربع دارای میانگین آبدهی سالانه‌ی ۵۲۷ میلیون مترمکعب و قزوین با وسعت ۱۷۶۲ کیلومترمربع دارای میانگین آبدهی سالانه در حدود ۵۵ میلیون مترمکعب است. میانگین آبدهی سالانه‌ی رودخانه‌ی گرگان‌رود در دوره‌ی شاخص ۳۵ ساله (۱۳۴۵-۷۴) در ایستگاه‌های گنبد (سطح حوضه‌ی آبریز ۴۸۶۹ کیلومترمربع) و قراقلی (سطح حوضه‌ی آبریز ۶۵۵۰ کیلومترمربع) به ترتیب $8/7$ و 15 مترمکعب در ثانیه، رودخانه‌ی اوغان در ایستگاه گالالیکش (سطح حوضه‌ی آبریز ۴۶۰ کیلومترمربع) $2/75$ مترمکعب بر ثانیه و رودخانه‌ی دوغ در تنگره (سطح حوضه‌ی آبریز ۱۷۹۲ کیلومترمربع)، $1/6$ مترمکعب

در مطالعه‌ی حاضر، از داده‌های ایستگاه‌های فراقلی و آق‌قلاء به ترتیب در بالادست و پایین دست سد و شمگیر استفاده شده است. آورده رودخانه‌ی گرگانزود در ایستگاه آق‌قلاء از سال ۱۳۲۹ تا ۱۳۹۶، به صورت ماهانه (۶۷ سال) در اختیار است. این در حالی است که در ایستگاه فراقلی از سال ۱۳۵۲ تا سال ۱۳۹۶ (۴۴ سال) آورده رودخانه ثبت شده است. نکته‌ی مورد نظر در ثبت آورده رودخانه‌ها، تاریخ احداث سدهای بوستان، گلستان و شمگیر بوده است، که در میزان ثبت دی در تاریخ‌های بعد از احداث سد تأثیر گذاشته است. سد بوستان در سال ۱۳۸۳ به بهره‌برداری رسیده است و حجمی معادل ۳۱ میلیون مترمکعب دارد. سد گلستان نیز حجمی معادل ۴۲ میلیون مترمکعب دارد، که در سال ۱۳۸۰ به بهره‌برداری رسیده است. این در حالی است که سد و شمگیر در بهمن ماه ۱۳۴۹ با حجم ۷۸ میلیون مترمکعب احداث شده است، که امروزه با گفته، سوب مخزن آن، حجمش، به



شکل ۲. ساختار شبکه‌ی عصبی مصنوعی.^[۲۰]



شکل ۳. نمودار گردش کار مدل ترکیبی توسعه داده شده مركب از روش‌های آنتروپی تقریبی و شبکه‌های عصبی.

به ترتیب رابطه‌های ۵ و ۶ را برای تعیین تعداد نرون‌های لایه‌ی پنهان پیشنهاد کردند:

$$N_H \leq 2N_I + 1 \quad (5)$$

$$N_H \leq \frac{2N_{TR}}{N_I + 1} \quad (6)$$

که در آن، N_H تعداد نرون‌های لایه‌ی پنهان، N_I تعداد نرون‌های لایه‌ی ورودی و N_{TR} تعداد داده‌های استفاده شده برای آموزش شبکه است. البته تعیین بهتر پارامترهای مذکور می‌تواند با استفاده از ذرا بیند سعی و خطأ و تأثیر آنها در نتایج آموزش انجام شود.

پس از شرح و توسعه‌ی هر یک از ابزارهای مورد نیاز در نوشتار حاضر، نحوه‌ی عمل روش آنتروپی تقریبی در نمودار گردش کار در شکل ۳ مشاهده می‌شود.

$$C_i^m(r) = \binom{\text{number of } j \text{ such that} \\ (j \leq N - m + 1, d(X(i), X(j)) < r)}{(N - m + 1)} \quad (2)$$

$$\phi^m(r) = \frac{1}{N - m + 1} \sum_{i=1}^{N-m+1} \log C_i^m(r) \quad (3)$$

همچنین:

$$ApEn(m, r, N)(U) = \phi^m(r) - \phi^{m+1}(r), \quad m \geq 1 \quad (4)$$

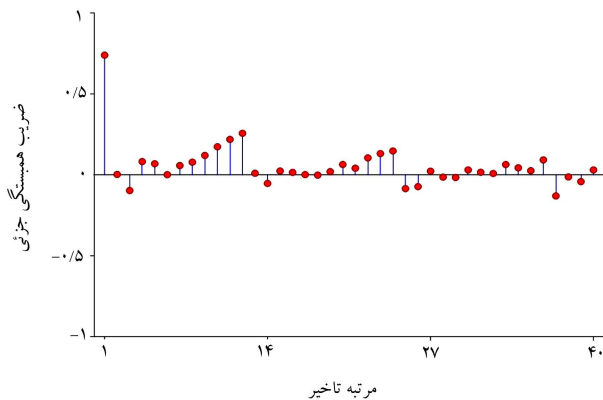
که در آنها، N نشان‌دهنده طول دنباله‌ی تحت بررسی، m بیان‌گر طول بلوک $(m \leq N)$ r عددی حقیقی و مثبت است که به طور رایج $0, 25, 50, 75, 100$ در نظر گرفته می‌شود، که در آن، SD انحراف معیار داده‌هاست.^[۲۱] در رابطه‌ی 4 ، $ApEn(m, r, N)(U)$ لگاریتم فراوانی نسبی برای بلوک‌هایی به اندازه‌ی m را اندازه‌گیری می‌کند، که اگر در یک دنباله با بلوک به اندازه‌ی m ، مقدار آنتروپی تقریبی بالا باشد، آن دنباله به ازاء m مذکور، بی‌نظمی بیشتری (نوسان بیشتر) دارد. در نوشتار حاضر، از داده‌های میانگین ماهانه‌ی سری زمانی جریان حوضه‌ی رودخانه‌ی گرگان‌رود استفاده شده است.

۴. شبکه‌های عصبی

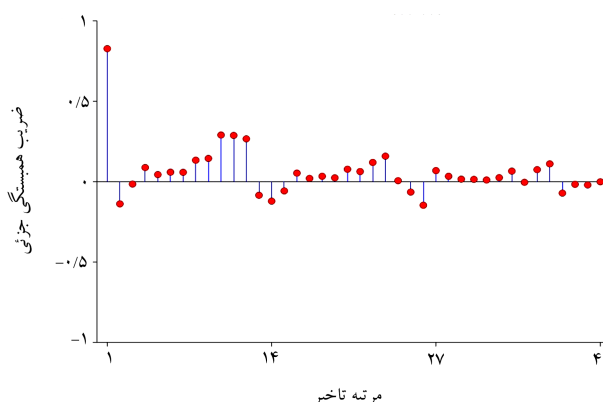
شبکه‌های عصبی یکی از زیرشاخه‌های هوش مصنوعی هستند، که به منظور پیش‌بینی یک پدیده و یا به عبارت دیگر، تخمین رفتار حاکم بر آن ابداع شده است. همان‌طور که در شکل ۲ مشاهده می‌شود، یک شبکه‌ی عصبی از چند لایه با نام‌های: لایه‌ی ورودی، لایه‌های پنهان و لایه‌ی خروجی تشکیل شده است و در هر لایه، تعدادی نرون که عملی مشابه نرون‌های بیولوژیکی انجام می‌دهند، قرار دارند. نرون‌های بیولوژیکی به شبکه‌های مختلف می‌توانند با هم ارتباط داشته باشند و هر خط وصل بین دو نرون با مقداری وزن است. در واقع، شبکه‌های عصبی برگرفته شده از نوشتار مکالوج و پیتس^[۲۲] (۱۹۴۳)، هستند، که از طریق ارتباطات داخلی بین نرون‌ها سعی در تخمین یکتابع می‌کنند. ساختار شبکه‌ی عصبی به تعداد داده‌های ورودی، تعداد پارامترهای ورودی و از همه مهم‌تر میزان پیچیدگی رابطه بین پارامترهای ورودی و خروجی بستگی دارد. در روش شبکه‌های مصنوعی، ابتدا باید با استفاده از تعدادی داده‌ی موسوم به داده‌های آموزش، شبکه را آموزش داد. به این صورت که برای مثال یک جفت الگوی (I_x, T_x)، که در آن I_x پارامتر ورودی و T_x پارامتر خروجی مطلوب است، الگوی در نرون‌های هر لایه یک خروجی تولید می‌کند. در لایه‌ی خروجی، تفاوت بین خروجی مطلوب و خروجی واقعی، یک سیگنال خطأ را به وجود می‌آورد، که سیگنال مذکور باعث تغییر وزن خطوط وصل بین نرون‌ها می‌شود. تغییر وزن‌های اشاره شده (آموزش شبکه) تا حد رسیدن به حد مطلوب کاربر ادامه خواهد داشت. شبکه‌ی عصبی و نحوه‌ی آموزش آنها، انواع مختلفی دارد. شبکه‌ی که در نوشتار حاضر استفاده شده است، از نوع تغذیه‌ی رو به جلو و با الگوریتم آموزش پس انتشار است، که از متدالول ترین الگوریتم‌های آموزشی است. تعداد نرون‌های لایه‌ی ورودی به تعداد پارامترهای ورودی است و تعداد نرون‌های لایه‌ی خروجی نیز به تعداد پارامترهای خروجی مورد نظر است.^[۲۳] تعداد لایه‌های پنهان به طور متدالول، یکی در نظر گرفته می‌شوند؛ ولی تعداد نرون‌های لایه‌ی پنهان با سعی و خطأ به دست می‌آید.

پژوهشگرانی مانند هک - نیلسن^[۲۴] (۱۹۷۸)، راجر و دوولا^[۲۵] (۱۹۹۴)،

حالی است که در ایستگاه قراقلی که در بالادست سد وشمگیر است، این مسئله نیز از بعد از ۲۴۰ تا ۳۵۰ ماه از تأسیس سدها، بوستان و گلستان بسته به تعداد بلوك‌های مورد بررسی مشاهده می‌شود. بنابراین عواملی به غیر از احداث سد با توجه به شباهت اقلیم در دو ایستگاه چندان مهم نیست. در این حالت نیز از بلوك ۱۱ به بعد در ایستگاه آق قلا و از بلوك ۹ به بعد از ایستگاه قراقلی چندان افزایشی در مقدار آنتروپی مشاهده نمی‌شود. مسئله اخیر می‌تواند مبنی این موضوع باشد که در پیش‌بینی با استفاده از مدل‌های سری زمانی، تعداد بلوك‌های تعیین شده توسط روش آنتروپی تقریبی به عنوان تعداد تأخیر در مدل‌های ARIMA و ANNs هستند، که البته این مدعی در ادامه با آنالیز حساسیت دقت مدل‌های مورد نظر در برابر تعداد بلوك‌های مختلف بررسی و تدقیق شده است. با توجه به شکل‌های ۴ و ۵ مشاهده می‌شود که به طور کلی آنتروپی تقریبی (ApEn) با افزایش زمان افزایش یافته است، که نشان‌دهنده سیر افزایش پیچیدگی و بی‌نظمی در سیستم رودخانه است. هر چند از یک تعداد بلوكی مشخص به بعد، میزان آنتروپی ثابت باقی مانده است؛ که دلیل آن، فرضیه‌ی قابل پیش‌بینی بودن سری‌های زمانی در تعداد بلوك‌های مذکور است، که باید نسبت به حاکم بودن این ایده در پیش‌بینی به روش‌های شبکه‌های عصبی و ARIMA، در ادامه بررسی کامل صورت بگیرد. این مسئله، ایده‌ی اصلی نوشتار حاضر است. این مسئله در خود همبستگی جزئی نیز قابل دست‌یابی است، که نتایج حاصل از آن در شکل‌های ۶ و ۷ مشاهده می‌شود؛ که مطابق آنها برای $m=11$ در ایستگاه آق قلا و برای $m=9$ در ایستگاه قراقلی، آنتروپی تقریبی نزدیک صفر و آنتروپی تقریبی برای m های بالاتر از مرتبه ذکر شده، یکسان بوده است. این مطلب بیان‌گر آن است که مرتبه‌ی اتورگرسیو دو سری



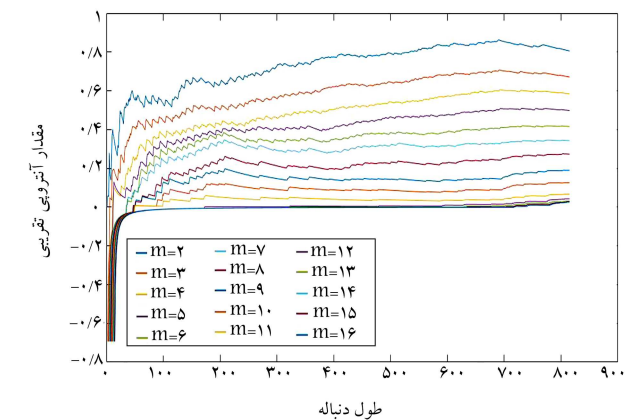
شکل ۶. خودهمبستگی جزئی در ایستگاه آق قلا.



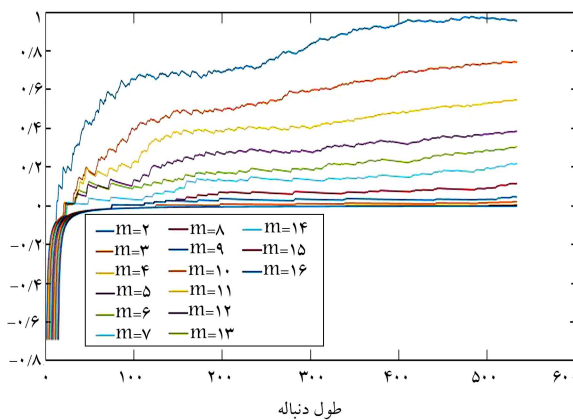
شکل ۷. خودهمبستگی جزئی در ایستگاه قراقلی.

۵. بررسی نظم داده‌های ایستگاه‌های اندازه‌گیری دبی و تعیین تعداد بلوك‌های مؤثر

همان‌طورکه عنوان شد، در نوشتار حاضر اشاره شاخص ApEn به منظور بررسی میزان پیچیدگی (بی‌نظمی) جریان حوضه‌ی رودخانه‌ی گرگان‌رود در ایستگاه آب‌سنجدی آق قلا از سال ۱۳۹۷ تا ۱۳۹۲ و ایستگاه آب‌سنجدی قراقلی از سال ۱۳۵۲ تا ۱۳۹۷ به صورت میانگین جریان ماهانه تبدیل شده است، استفاده و مقادیر آنتروپی تقریبی برای هر یک از مقادیر تعداد بلوك از ۲ تا ۱۶ محاسبه شده است. سپس برای هر مقدار m (تعداد تأخیر)، مقدار آنتروپی تقریبی در شکل‌های ۴ و ۵ به ترتیب برای ایستگاه‌های آق قلا و قراقلی ترسیم شده است.^[۲۳] بی‌نظمی در یک سیستم رودخانه ممکن است در اثر افزایش استفاده از منابع آب و خاک در حوضه‌ی رودخانه و همچنین تغییرات آب و هوایی کاهش یابد؛ به طوری که چنین مسائلی در حوضه‌ی رودخانه‌ی گرگان‌رود بر اساس میزان آنتروپی تعیین شده در ایستگاه آق قلا از اواخر دهه‌ی ۱۳۵۰ باعث شد تا پیچیدگی و بی‌نظمی سیستم رودخانه از سال ۱۳۵۰ به بعد، مطابق شکل ۴، کاهش یابد. فالالت و پیچیدگی سیستم رودخانه ممکن است به دلیل استفاده‌ی زیاد از زمین و پوشش کیاهی، با تغییر در زمان و توزیع رواناب و تبخیر و تعرق در حوضه تغییر کند، که در مورد ایستگاه آق قلا می‌توان احداث سد وشمگیر را عامل کاهش بی‌نظمی از ماه ۲۴۰ به بعد دانست. این در



شکل ۴. مقدار آنتروپی تقریبی برای هر دوره و به ترتیب برای طول بلوك‌های مختلف در ایستگاه آق قلا.



شکل ۵. مقدار آنتروپی تقریبی برای هر دوره و به ترتیب برای طول بلوك‌های مختلف در ایستگاه قراقلی.

جدول ۲. ضریب همبستگی به دست آمده در توسعه‌ی مدل ANNs به منظور پیش‌بینی آورد رودخانه در ایستگاه آق قلا با تعداد تأخیر ۱۲.

مقدار	پارامتر
۵	تعداد نمونه‌ای پنهان
۰/۸۱۸	ضریب همبستگی داده‌های آموزش
۰/۸۲۴	ضریب همبستگی داده‌های کنترل
۰/۸۱۷	ضریب همبستگی کل داده‌ها

جدول ۳. ضریب همبستگی به دست آمده در توسعه‌ی مدل ANNs به منظور پیش‌بینی آورد رودخانه در ایستگاه قراقلی با تعداد تأخیر ۱۰.

مقدار	پارامتر
۵	تعداد نمونه‌ای پنهان
۰/۷۷۸	ضریب همبستگی داده‌های آموزش
۰/۷۸۴	ضریب همبستگی داده‌های کنترل
۰/۷۸۵	ضریب همبستگی کل داده‌ها

همبستگی حاصل شده در داده‌های آموزش و کنترل، که به صورت رابطه‌ی ۸ تعریف می‌شود، در جدول‌های ۲ و ۳ به ترتیب برای ایستگاه آق قلا و قراقلی ارائه شده است:

$$R = \sqrt{1 - \frac{\sum_{k=1}^N (P^i - O^i)^2}{\sum_{k=1}^N (P^i - \bar{T})^2}} \quad (9)$$

که در آن، به ترتیب O^i مقدار مشاهداتی، P^i مقدار پیش‌بینی داده‌ی آن و \bar{T} میانگین مشاهداتی پارامتر پیش‌بینی شده هستند.
همان‌طور که در جدول ۲ و شکل ۳ مشاهده می‌شود، ضریب همبستگی در داده‌های آموزش و کنترل به ترتیب $0/818$ و $0/824$ در ایستگاه آق قلا و $0/778$ و $0/784$ در ایستگاه قراقلی بوده است. این مقادیر همان‌طور که در شکل‌های ۸ و ۹ مشاهده می‌شود، به ترتیب برای کل داده‌ها، $0/817$ و $0/785$ در ایستگاه‌های آق قلا و قراقلی بوده است. هر چند ارزیابی نهایی روش ARIMA مربوط به کارگری آن بر روی داده‌های آزمون بوده است. مدل ANNs به کارگرفته در نوشتار حاضر، که بر مبنای اتورگرسیو مرتبه‌ی AR(p) است، در نرم‌افزار NCSS توسعه داده شده است، که ضرایب آن در جدول ۴ برای هر یک از ایستگاه‌های آق قلا و قراقلی ارائه شده است.

۷. آنالیز حساسیت آورد آبی رودخانه‌ی گرگانزود در برابر

تعداد بلوک‌های مختلف و ارزیابی نهایی مدل‌ها

پس از توسعه‌ی روش‌های مورد نظر در مرحله‌ی کنونی از دیدگاه توسعه‌ی مدل با بلوک‌های تأخیر متفاوت، اثر پارامتر ذکر شده در ضریب همبستگی کل داده‌های آموزش و کنترل بررسی شده است. بر اساس این دیدگاه، میزان تأثیر بلوک‌های تأخیر در پیش‌بینی آورد آبی رودخانه‌ی گرگانزود در ایستگاه‌های آق قلا و قراقلی مشخص شده است. آنالیز حساسیت پارامترهای ورودی مدل‌های ابزار محاسبه‌ی نرم را می‌توان در تأثیر روی ضریب همبستگی مجموع داده‌های آموزش و کنترل بررسی کرد. بدین منظور تغییرات ضریب همبستگی دو مدل توسعه داده شده

زمانی $m+1$ است. بنابراین با توجه به شکل‌های مذکور، این نکته تأیید می‌شود که مرتبه‌ی خودهمبستگی داده‌های ایستگاه آق قلا $p=12$ و برای ایستگاه قراقلی $p=10$ (بزرگ‌ترین مقدار خودهمبستگی بعد از مقدار خودهمبستگی مرتبه‌ی یک) است.

۶. توسعه‌ی مدل‌های شبکه‌ی عصبی و ARIMA در

پیش‌بینی آورد آبی رودخانه‌ی گرگانزود

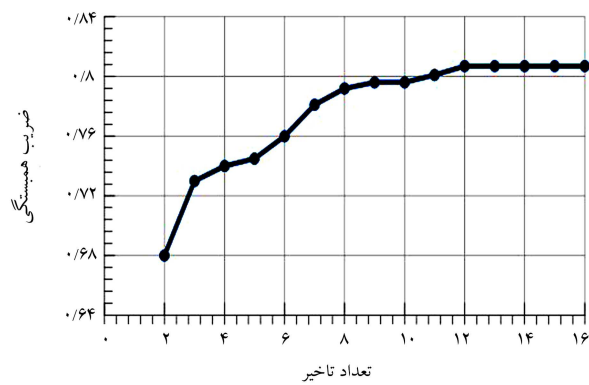
پس از معرفی داده‌های استفاده شده در توسعه‌ی روش ابزار محاسبه‌ی نرم و همچنین توضیح درباره ویژگی‌های داده‌های استفاده شده و تعداد بلوک‌های تأخیری، در بخش حاضر به توسعه‌ی مدل مرتبط به منظور پیش‌بینی آورد رودخانه‌ی گرگانزود با استفاده از جعبه‌های ابزار روش‌های مذکور در نرم افزار متلب ^{۲۸} پرداخته شده و پژوهش در رابطه با فرضیه‌ی مورد نظر انجام شده است. در توسعه‌ی مدل‌های ابزار محاسبه‌ی نرم معمولاً سه دسته داده استفاده می‌شوند، که به عنوان داده‌های آموزش، کنترل و آزمون معروفی می‌شوند. دو دسته‌ی اول، به منظور توسعه‌ی مدل‌ها استفاده می‌شوند، که در آنها باید میزان خطای تخمین داده‌های آموزش و کنترل در پیش‌بینی پدیده‌ی مورد نظر در یک فرایند آموزشی، کمیته شود. داده‌های آزمون نیز به منظور بررسی شرایط تعیین‌پذیری مدل‌های توسعه داده شده استفاده می‌شوند. در نوشتار حاضر هر یک از داده‌های مورد نظر، با توجه به تجارب گذشته و سعی و خطای انجام شده (حدود ۸۰٪ کل داده‌ها مربوط به داده‌های آموزش و کنترل و حدود ۲۰٪ آنها نیز به عنوان داده‌های آزمون بوده است، که به طور تصادفی انتخاب شده‌اند) برگزیده شده‌اند. در راستای هر چه تعیین‌پذیرتر کردن مدل‌های ابزار محاسبه‌ی نرم، مدل پیش‌بینی کننده‌ی شبکه‌ی عصبی با توجه به تعداد بلوک‌های تأخیر به صورت رابطه‌ی ۷ بیان می‌شود:

$$X_t = f(X_{t-1}, X_{t-2}, \dots, X_{t-p}) + z_t \quad (7)$$

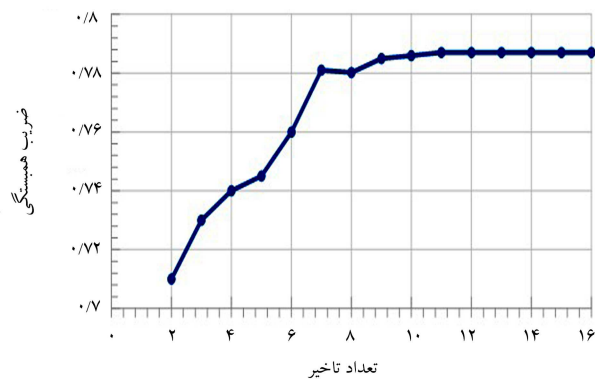
که در آن، X_t مقدار آورد پیش‌بینی شده توسط روش‌های ابزار محاسبه‌ی نرم استفاده شده است. p ، تعداد بلوک‌های تأخیر مورد نیاز در پیش‌بینی سری زمانی z_t ، متغیر تصادفی با توزیع نرمال میانگین صفر و انحراف معیار یک است. در مدل ARIMA نیز معادله‌ی اخیر برای هر دو ایستگاه آق قلا و قراقلی به صورت رابطه‌ی ۸ تعریف می‌شود:

$$X_t = \alpha_1 X_{t-1} + \alpha_2 X_{t-2} + \dots + \alpha_p X_{t-p} + z_t \quad (8)$$

که در آن، z_t ، متغیر تصادفی با توزیع نرمال میانگین صفر و انحراف معیار یک است. همان‌طور که مشاهده می‌شود، X_t ترکیب خطی از جدیدترین p مقدار گذشته‌ی خود به علاوه‌ی یک مقدار اغتشاش z_t است، که z_t مستقل از $X_{t-1}, X_{t-2}, \dots, X_{t-p}$ است. لازم به ذکر است که مدل اخیر مدل AR(p) نیز نامیده می‌شود. بعد از توسعه‌ی مدل‌های AR(p) در مرحله‌ی حاضر با توجه به داده‌های انتخاب شده، مدل‌های ابزار محاسبه‌ی نرم مبتنی بر روش ANNs توسعه داده می‌شوند. در روش ANNs مطابق با جدول ۲، تعداد لایه‌های پنهان ۲ عدد است و تعداد نمونه‌ای آن نیز به ۵ عدد تنظیم می‌شود. تابع فعال‌سازی آنها تانسیک و تابع فعال‌سازی نرون لایه‌ی خروجی نیز پورلین است. به منظور توسعه‌ی مدل ANNs برای پیش‌بینی آورد رودخانه، همه m پارامتر مؤثر در پدیده‌ی مورد نظر به عنوان ورودی شبکه انتخاب شدند و شبکه‌ی مورد نظر با تعداد گام محاسباتی ۱۰۰۰ آموزش داده شد. همچنین



شکل ۱۰. آنالیز حساسیت ضریب همبستگی در برابر مقادیر مختلف بلاک‌های تأخیر در ایستگاه آق قلا با روش ANNs.

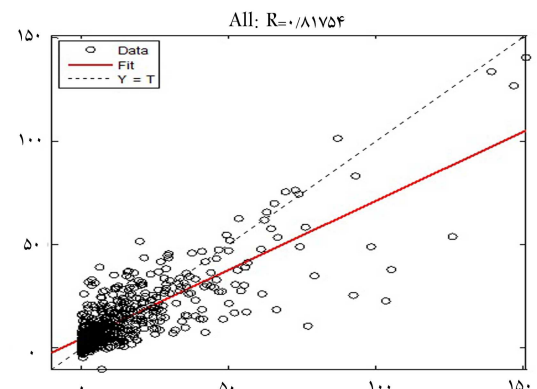


شکل ۱۱. آنالیز حساسیت ضریب همبستگی در برابر مقادیر مختلف بلاک‌های تأخیر در ایستگاه قراقلی با روش ANNs.

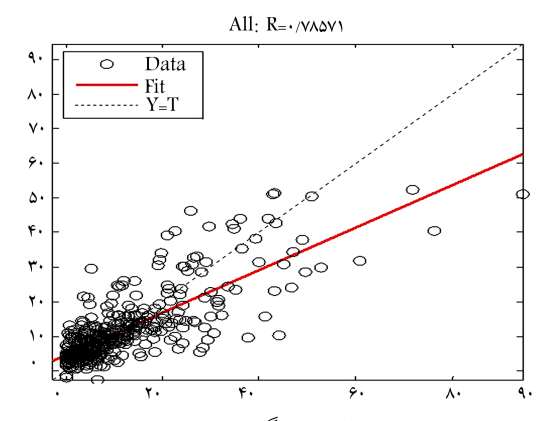
ANNS در مقابل بلاک‌های تأخیر مختلف بررسی شد، که به ترتیب این روند در مدل‌های اخیر در شکل‌های ۱۰ و ۱۱ مشاهده می‌شود، که مطابق آنها با افزایش مقدار p ضریب همبستگی در داده‌ها افزایش یافته است. این در حالی است که در بلاک‌های ۱۲ و ۱۵، به ترتیب در ایستگاه‌های آق قلا و قراقلی، مقدار ضریب همبستگی به سمت مقداری ثابت میل کرده است. اگرچه میزان کاهش خطأ از میزان تعداد بلاک‌های تعیین شده به بعد، تغییر چندان قابل توجهی نکرده است. بنابراین می‌توان این‌گونه استنباط کرد که بلاک‌هایی به دست آمده در روش آنتروپی تقریبی با تعداد تأخیرهای حاصل شده از روش ANNs تقریباً یکسان است. نکته‌یی که باید در نظر داشت به ماهیت روش ANNs در نرم‌افزار متلب بر می‌گردد، که روشی مبتنی بر انتخاب تصادفی داده‌های کنترل است. بنابراین در انتخاب بلاک‌های تأخیر باید مسئله، چندین مرحله اجرا شود و مناسب‌ترین جواب را انتخاب کرد، که نوسان نشان داده شده در شکل‌های ۱۰ و ۱۱ به این مسئله بر می‌گردد.

با توجه به این‌که توانمندی مدل‌های ابزار محاسبات نرم به ارزیابی کارایی آنها در مقابل داده‌هایی که در فرایند آموزش استفاده نشده است، بستگی دارد؛ لذا در بخش کنونی به ارزیابی مدل‌های مورد نظر توسعه داده شده در مقابل داده‌هایی که در فرایند آموزش استفاده نشده‌اند، پرداخته شده است. در همین راستا، علاوه بر ضریب همبستگی از دو شاخص میانگین انحراف (Bias) و میانگین مربع خطأ (RMSE) جهت ارزیابی کارایی مدل‌های مذکور استفاده شده است، که مطابق

روابط ۱۰ و ۱۱ محاسبه می‌شوند:



شکل ۸. مقادیر اندازه‌گیری شده‌ی آورد آبی رودخانه‌ی گرگانزود در برابر مقادیر پیش‌بینی آورد رودخانه‌ی گرگانزود در ایستگاه آق قلا با روش ANNs.



شکل ۹. مقادیر اندازه‌گیری شده‌ی آورد آبی رودخانه‌ی گرگانزود در برابر مقادیر پیش‌بینی آورد رودخانه‌ی گرگانزود در ایستگاه قراقلی با روش ANNs.

جدول ۴. پارامترهای تعیین شده برای روش ARIMA

مقدار	آق قلا	قراقلی
α_1	-0.618	-0.853
α_2	-0.154	-0.856
α_3	-0.156	-0.741
α_4	-0.323	-0.411
α_5	-0.695	-0.823
α_6	-0.454	-0.209
α_7	-0.145	-0.287
α_8	-0.0767	-0.273
α_9	-0.0106	-0.123
α_{10}	-0.0233	-0.303
α_{11}	-0.457	-0
α_{12}	-0.256	-0

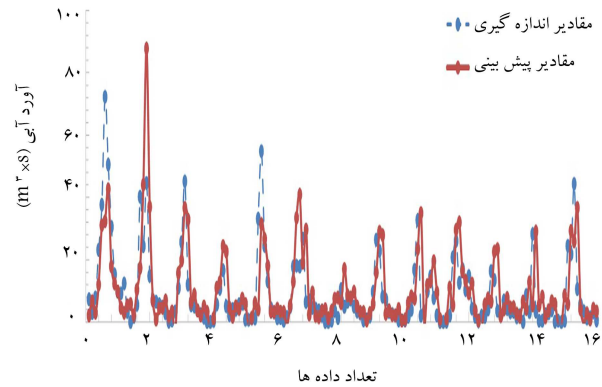
جدول ۵. مقایسه‌ی مدل‌های مختلف جهت پیش‌بینی آورد رودخانه‌ی گرگان‌رود در ایستگاه‌های آق قلا و قراقلی.

ANNS	ARIMA	نام ایستگاه
۰/۸۲۴	۰/۸۰۲	آق قلا
۰/۷۵۱	۰/۷۳۴	R قراقلی
۱۳/۶۹	۱۵/۲۵	
۱۵/۲۹	۱۵/۷۲	RMSE قراقلی
۰/۹۵۰	۱/۰۵۱	
۱/۰۲۳	۱/۱۴۳	Bias قراقلی

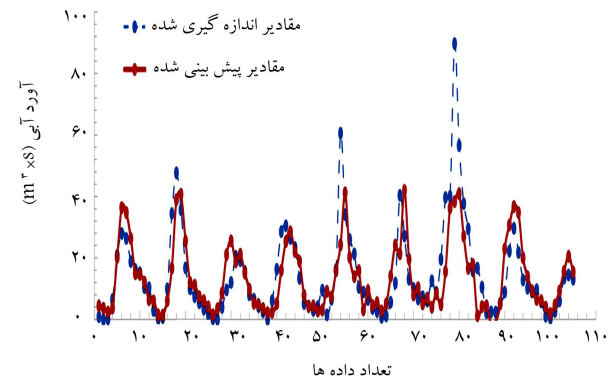
طبعی‌ی به سمت آنتروپی بیشتر پیش‌بینی روند و ممکن است به دلیل دخالت عوامل بیرونی، بی‌نظمی و به دنبال آن آنتروپی سیستم کاهش یابد و سیستم به سمت نظم حرکت کند. بی‌نظمی در یک سیستم رودخانه ممکن است در اثر افزایش استفاده از منابع آب و خاک در حوضه‌ی رودخانه و همچنین تغییرات آب و هوایی و همچنین احداث زیرساخت‌هایی مانند سد کاهش یابد، به طوری که چنین مسائلی در حوضه‌ی رودخانه‌ی گرگان‌رود از اواخر دهه‌ی ۱۳۴۰ باعث شد تا پیچیدگی و بی‌نظمی سیستم رودخانه در ایستگاه آب‌سنگی آق قلا در پایین دست سد کاهش یابد. در پژوهش حاضر، آنتروپی تقریبی برای بررسی پیچیدگی در جریان حوضه‌ی رودخانه‌ی گرگان‌رود برای دوره‌های ۶۷ و ۴۴ ساله به ترتیب در ایستگاه‌های آب‌سنگی آق قلا و قراقلی و از میانگین مقادیر جریان ماهانه‌ی رودخانه‌ی گرگان‌رود با توجه به برنامه‌ریزی‌های منابع آب در طی دوره‌ی آماری استفاده شده است. همچنین، نتایج نشان دادند که آنتروپی تقریبی، اباری مناسب برای ارزیابی پیچیدگی سیستم‌های آبی پویا مانند سیستم رودخانه‌ی گرگان‌رود با استفاده از اباره‌های پیش‌بینی سری زمانی، مانند شبکه‌های عصبی است. همچنین رابطه بین بلوك‌های تأخیر و آنتروپی تقریبی در هر یک از ایستگاه‌های مورد نظر بررسی و مشخص شد که بهترین تعداد تأخیر در ایستگاه‌های آق قلا و قراقلی به ترتیب برابر ۱۲ و ۱۰ عدد جهت رسیدن به یک مدل جامع پیش‌بینی‌کننده است. در ادامه نیز دو مدل ANNs و ARIMA به همراه میزان بلوك تأخیری به دست آمده برای پیش‌بینی دری رودخانه‌ی گرگان‌رود استفاده شد. نتایج نشان از کارایی مدل‌های توسعه داده شده در منطقه‌ی مورد نظر است، که این مسئله با توجه به نتایج حاصل شده در ایستگاه‌های مورد نظر برای برنامه‌ریزی آینده کارساز است. آنالیز حساسیت خطاهای مدل‌های پیش‌بینی‌کننده R و ARIMA و ANNs بیان‌گر انتخاب درست تعداد بلوك‌های تأخیری در توسعه‌ی مدل‌های مورد نظر است. همچنین می‌توان در ادامه، این پیشنهادها را برای کارهای آینده ارائه کرد:

(الف) به علت حجم بالای داده‌های روزانه، گرفتن خروجی بر حسب داده‌های روزانه با رایانه‌های معمولی مقدور نیوود است؛ بنابراین با داشتن سخت‌افزار مناسب، می‌توان مدلی بر اساس داده‌های روزانه‌ی جریان به دست آورد.

(ب) وجود داده‌های پرت در مدل‌های پیش‌بینی‌کننده، تأثیر غیرسازنده دارد؛ لذا باید به دنبال روش‌هایی بود که ضمن وجود داده‌ی پرت در سری داده‌ها بتوان مدل مناسب‌تری پیشنهاد کرد.



شکل ۱۲. مقادیر آورد آبی پیش‌بینی شده توسط روش ANNs در برابر اندازه‌گیری شده در ایستگاه آق قلا.



شکل ۱۳. مقادیر آورد آبی پیش‌بینی شده توسط روش ANNs در برابر اندازه‌گیری شده در ایستگاه قراقلی.

$$Bias = \frac{1}{N} \sum_{k=1}^N (P^k - O^k) \quad (10)$$

$$RMSE = \sqrt{\frac{\sum_{i=1}^N (P_i - O_i)^2}{N}} \quad (11)$$

که در آن Bias شاخص انحراف است، که نشان‌دهنده‌ی دست‌پایی و یا دست‌بالا بودن تخمین توسط مدل توسعه داده شده و RMSE خطای داده‌های آزمون است. پس از ارزیابی مدل‌های مذکور، نتایج در جدول ۵ و شکل‌های ۱۲ و ۱۳ مشاهده می‌شود، که مطابق آنها، وجود داده‌های پرت در دقت مدل پیش‌بینی تأثیر دارند؛ لذا پیش‌بینی مقادیر پیشنهادی با مقداری خطأ همراه است. براساس مقدار متغیر R، که هر چقدر بزرگ‌تر باشد، دلیل برتری روش مورد نظر است؛ روش ANNs با توجه به جدول ۵ نسبت به روش ARIMA برای داده‌های مورد مطالعه دقیق‌تر عمل کرده است. همچنین مشخص است که مدل‌های توسعه داده شده، فرضیه‌ی مطرح شده در رابطه با ارتباط بین مربوطه‌ی مدل‌ها با تعداد تأخیرهای مورد نظر را تأیید می‌کنند.

۸. نتیجه‌گیری و پیشنهادها

نتایج پژوهش حاضر نشان می‌دهند که آنتروپی تقریبی، راهکار مناسبی برای تعیین پیچیدگی و بی‌نظمی در سیستم‌های آب‌شناسی است. در حالت کلی، فرایندهای

شرح علائم	
آنتروپی تقریبی	ج) در پژوهش حاضر، از معیار آنتروپی تقریبی استفاده شده است، که می‌توان از معیارهای دیگر از جمله آنتروپی نمونه نیز برای تعیین تعداد تأخیرها بهره برد.
آنالیز مکانیکی	بردار ماشین‌های پشتیبان
آنالیز مکانیکی	پس انتشار
آنالیز مکانیکی	آنالیز طیفی
آنالیز مکانیکی	آنالیز مقایسه
آنالیز مکانیکی	پیچیدگی لپل - زیو
آنالیز مکانیکی	تansیک
آنالیز مکانیکی	پورلین
آنالیز مکانیکی	گام محاسباتی
آنالیز مکانیکی	آموزش بیش از حد
آنالیز مکانیکی	اصل بیشینه آنتروپی
آنالیز مکانیکی	داده پرت
آنالیز مکانیکی	Approximate Entropy (ApEn)
آنالیز مکانیکی	ANFIS
آنالیز مکانیکی	ANNs
آنالیز مکانیکی	FISs
آنالیز مکانیکی	GP
آنالیز مکانیکی	RMSE
آنالیز مکانیکی	R
آنالیز مکانیکی	Standard Deviation (SD)
آنالیز مکانیکی	Bias
آنالیز مکانیکی	Artificial Neural Networks
آنالیز مکانیکی	Fuzzy Inference Systems
آنالیز مکانیکی	Genetic Programming

نشکر و قدردانی

لندن وسیله از معاونت پژوهشی دانشگاه گلستان به منظور حمایت های آنها در انجام
نوشتار حاضر، تقدیر و تشکر می شود.

ازوشت‌ها

1. Singh & Rajagopal
 2. principle of maximum entropy
 3. Krstanovic & Singh
 4. maximum entropy spectral analysis
 5. Barbe
 6. Costa
 7. multi-scale entropy
 8. K.Sen
 9. lempel-ziv complexity
 10. artificial neural networks
 11. auto-regressive integrated moving average
 12. fuzzy inference systems
 13. genetic programming
 14. support vector machines
 15. Yang & Chang
 16. Yuhong & Wenxin
 17. Begum
 18. Zaji
 19. Zanganeh
 20. Joeutsu-Ogata
 21. Approximate Entropy
 22. Pincus
 23. shannon entropy
 24. standard deviation

منابع (References)

1. Shannon, Claude E. "A mathematical theory of communication", *The Bell System Technical Journal*, **27**(3), pp. 379-423 (1948).
 2. Jaynes, E.T. "Information theory and statistical mechanics, *Physical Review*, **106**(4), pp. 620 (1957).
 3. Singh, V.P. and Rajagopal, A.K. "Some recent advances in application of the principle of maximum entropy (POME) in hydrology", *IAHS Publication*, **164**, pp. 353-364 (1987).
 4. Krstanovic, P.F. and Singh, V.P. "A univariate model for longterm streamflow forecasting: 1. development", *Stochastic Hydrology and Hydraulics*, **5**, pp. 173-188 (1991a).

5. Krstanovic, P.F. and Singh, V.P. "Evaluation of rainfall networks using entropy: 1. theoretical development", *Water Resource Management*, **6**, pp. 279-293 (1992a).
6. Krstanovic, P.F. and Singh, V.P. "Design of rainfall networks using entropy: II. application", *Water Resource Management*, **6**, pp. 295-314 (1992b).
7. Barbe, D.E., Cruise, J.F. and Singh, V.P. "Derivation of a distribution for the piezometric head in groundwater flow using stochastic and statistical methods", In Hipel, K.W. (Ed.), *Hydrology and Environmental Engineering*, 2, Kluwer Academic Publishers, Dordrecht, pp. 151-161 (1994).
8. Zhang, Y.C. "Complexity and 1/f noise. A phase space approach", *Journal de Physique I*, **1**(7), pp. 971-977 (1991).
9. Costa, Madalena, Ary L. Goldberger, and C-K. Peng. "Multiscale entropy analysis of complex physiologic time series", *Physical review letters*, **89**(6), pp.068102, (2002).
10. Costa, Madalena, Ary L. Goldberger, and C-K. Peng. "Multiscale entropy analysis of biological signals." *Physical review E*, **71**(2), pp.021906 (2005).
11. Sen, Asok K. "Complexity analysis of riverflow time series" *Stochastic Environmental Research and Risk Assessment*, **23**(3), pp.361-366 (2009).
12. Li, Z. and Zhang, Y.K. "Multi-scale entropy analysis of mississippi riverflow", *Stochastic Environmental Research and Risk Assessment*, **22**(4), pp. 507-512 (2007).
13. Zanganeh, M., Chaji, A. and Kiani, M. "Gorganrood river inflow complicity evaluation by aproximate entropy.", *8th Conference of water resource Management, Mashhad, Iran*, (in Persian) (2021).
14. Yang, H.C. and Chang, F.J. "Modeling combined open channel flow by artificial neural networks", *Hydrological Processes*, **19**(18), pp. 3747-3762 (2005).
15. Yuhong, Z. and Wenxin, H. "Application of artificial neural network to predict the friction factor of open channel flow", *Communications in Nonlinear Science and Numerical Simulation*, **14**(5), pp. 2373-2378 (2009).
16. Shayya, W.H. and Sablani, S.S. "An artificial neural network for non-iterative calculation of the friction factor in pipeline flow", *Computers and Electronics in Agriculture*, **21**(3), pp. 219-228 (1998).
17. Abdeen, M.A.M. "Artificial neutral network model for predicting the impact changing water structures' locations on the hydraulic performance of branched open channel system", *Mechanics and Mechanical Engineering*, **7**(2), pp. 179-192 (2004).
18. Zahiri, A. and Dehghani, A.A. "Flow discharge determination in straight compound channels using ANN", *World Academy of Science, Engineering and Technology*, **58**, pp. 12-15 (2009).
19. Bateni, S.M., Borghei, S.M. and Jeng, D.S. "Neural network and neuro-fuzzy assessments for scour depth around bridge piers", *Engineering Applications of Artificial Intelligence*, **20**(3), pp. 401-414 (2007).
20. Begum, S.A., Fujail, A.M. and Barbhuiya, A.K. "Artificial neural network to predict equilibrium local scour depth around semicircular bridge abutments", *6th SASTech, Malaysia, Kuala Lumpur* (2012).
21. Kazeminezhad, M.H., Etemad-Shahidi, A. and Bakhtiari, A.Y. "An alternative approach for investigation of the wave-induced scour around pipelines", *Journal of Hydroinformatics*, **12**(1), pp. 51-65 (2010).
22. Ghazanfari-Hashemi, S., Etemad-Shahidi, A., Kazeminezhad, M.H. and et al. "Prediction of pile group scour in waves using support vector machines and ANN", *Journal of Hydroinformatics*, **13**(4), pp. 609-620 (2011).
23. Zaji, A.H. and Bonakdari, H. "Application of artificial neural network and genetic programming models for estimating the longitudinal velocity field in open channel junctions", *Flow Measurement and Instrumentation*, **41**, pp. 81-89 (2015).
24. Sheikh Khozani, Z., Hossein Bonakdari, H. and Zaji, A.H. "Estimating the shear stress distribution in circular channels based on the randomized neural networktechnique", *Applied Soft Computing*, **58**, pp. 441-448 (2017).
25. Sadegh Safari, M., Aksoy, H. and Mohammadi, M. "Artificial neural network and regression models for flow velocity at sediment incipient deposition", *Journal of Hydrology*, **541**, pp. 1420-1429 (2016).
26. Zanganeh, M., Yeganeh-Bakhtiary, A. and Yamashita, T. "ANFIS and ANN models for the estimation of wind and wave-induced current velocities at Joeutsu-Ogata coast", *Journal of Hydroinformatics*, **18**(2), pp. 371-391 (2016).
27. Zanganeh, M. and Rastegar A. "Estimation of roughness coefficient in erodible channels by ANNs and the ANFIS methods", *Amirkabir J. Civil Eng.*, **52**(2), pp. 1-3 (2020).
28. Pincus, S.M. "Approximate entropy as a measure of system complexity", *Proceedings of the National Academy of Sciences*, **88**(6), pp. 2297-2301 (1991).
29. Hassan, M., Terrien, J., Marque , C. and et al. "Comparison between approximate entropy, correntropy and time reversibility: Application to uterine electromyogram signals", *Med. Eng. Phys.*, **33**(8), pp. 980-986 (2011).
30. McCulloch, W.S. and Pitts, W. "A logical calculus of the ideas immanent in nervous activity", *The Bulletin of Mathematical Biophysics*, **5**(4), pp. 115-133 (1943).
31. Hecht-Nielsen, R. "Kolmogorov's mapping neural network existence theorem", In *Proceedings of the International Conference on Neural Networks*, **3**, pp. 11-13, New York: IEEE Press (1978).
32. Rogers, L.L. and Dowla, F.U. "Optimization of ground-water remediation using artificial neural networks with parallel solute transport modeling", *Water Resources Research*, **30**(2), pp. 457-481 (1994).
33. Pincus, S.M. "Approximate entropy as a measure of irregularity for psychiatric serial metrics", *Bipolar Disorders*, **8**(5p1), pp. 430-440 (2006).